

اقتصاد کشاورزی و توسعه، سال نوزدهم، شماره ۷۴، تابستان ۱۳۹۰

مقایسه توان پیش‌بینی مدل عصبی- فازی ANFIS با مدل شبکه عصبی ARIMA و خود رگرسیونی ANN مطالعه موردی قیمت هفتگی تخم مرغ

سید محمد فهیمی فرد^{*} ، دکتر ماشاء... سالارپور^{**} ، دکتر محمود صبوحی^{***}

تاریخ دریافت: ۸۷/۱۰/۹ تاریخ پذیرش: ۸۹/۸/۱

چکیده

از آنجاکه پیش‌بینی صحیح قیمت در بازار محصولات کشاورزی تأثیر مهمی در سیاست‌گذاری‌های این بخش دارد، به کارگیری مدل‌های کاراتر از جمله مدل‌های عصبی- مصنوعی می‌تواند سیاست‌گذاران و برنامه‌ریزان این بخش را برای تصمیم‌گیری‌های آتی یاری رساند؛ لذا در این مطالعه توان پیش‌بینی مدل جدید عصبی- فازی ANFIS با مدل شبکه عصبی ANN و خود رگرسیونی ARIMA در پیش‌بینی سریهای زمانی مقایسه شد. به عنوان کاربرد تجربی،

* دانشجوی دوره دکتری اقتصاد کشاورزی دانشگاه زابل (نویسنده مسئول)

e-mail: mfahimifard@gmail.com

e-mail: hossalsalarpour@gmail.com

e-mail: msabuhi39@yahoo.com

** استادیار گروه اقتصاد کشاورزی دانشگاه زابل

*** دانشیار گروه اقتصاد کشاورزی دانشگاه زابل

قیمت تخم مرغ برای سه افق زمانی به وسیله مدل‌های مذکور پیش‌بینی و از معیارهای ارزیابی کارایی جهت بررسی قدرت پیش‌بینی مدل‌ها استفاده شد. به این منظور از داده‌های هفتگی دوره ۱۳۸۷:۴-۱۳۸۱:۱ استفاده شد. نتایج نشان داد که مدل‌های ANFIS و ANN در مقایسه با مدل ARIMA و مدل ANFIS در مقایسه با مدل ANN در همه افقهای زمانی از کارایی بیشتری در پیش‌بینی قیمت تخم مرغ برخوردارند و بنابراین پیشنهاد می‌شود که روش‌های نوین پیش‌بینی از جمله روش‌های مختلف شبکه عصبی بهمنظور برنامه‌ریزی دقیق‌تر در این حوزه گسترش یابد.

طبقه‌بندی JEL: C₂₂, C₈, L₆₆

کلیدواژه‌ها:

ARIMA، ANN، ANFIS، پیش‌بینی، قیمت تخم مرغ

مقدمه

اغلب پدیده‌های طبیعی رفتاری غیرخطی دارند که لازمه تشخیص مناسب آنها استفاده از مدل‌های غیرخطی است. در گذشته مدل‌هایی به منظور پیش‌بینی متغیرهای اقتصادی مورد استفاده قرار می‌گرفتند که از مهمترین آنها می‌توان به فنون رگرسیون خطی یا چند جمله‌ای، خودرگرسیونی، میانگین متحرک، مدل‌های باکس و جنکیتز، مدل‌های ساختاری، مدل‌های سری زمانی و... اشاره کرد. اما این مدل‌ها از ضعفهایی برخوردارند که به محقق اجازه نمی‌دهند تا عوامل پیچیده و غیرخطی مؤثر بر پیش‌بینی را در نظر بگیرد. علاوه بر این، اخیراً به خوبی اثبات شده که بسیاری از مشاهدات سری‌های زمانی اقتصادی، غیرخطی بوده و تخمین مدل‌های خطی برای مسائل پیچیده دنیا واقعی همیشه رضایت‌بخش نیست. همچنین پیش‌بینی براساس مدل‌های غیرخطی اقتصادستنجی نیز با محدودیتهای بسیار زیادی همراه است. برای مثال ممکن است اطلاعات درخصوص متغیرهای توضیحی که بر متغیر وابسته اثر می‌گذارند، وجود نداشته

مقایسه توان پیش‌بینی مدل

باشد. از سویی برای پیش‌بینی متغیر وابسته ابتدا باید متغیرهای توضیحی پیش‌بینی شوند که در برخی موارد پیش‌بینی متغیرهای توضیحی امری دشوارتر از متغیر وابسته است (Racine, 2001). از این رو روش‌های جدیدی از پیش‌بینی به نام روش‌های عصبی ابداع شده‌اند که با اقتباس از فرایند یادگیری مغز انسان می‌توانند روابط بین متغیرها را - هر چند پیچیده و غیرخطی - کشف کنند (Zhang and Hu, 1998). علاوه براین، مطالعاتی وجود دارد که در برخی موارد بیانگربرتری مدل‌های خطی بر مدل‌های شبکه عصبی می‌باشند. از جمله پرتغال (Prugal, 1995)، در مطالعه‌ای به پیش‌بینی تولید ناخالص بخش صنعت در برزیل با استفاده از روش‌های شبکه عصبی، مدل اجزای غیرقابل مشاهده و فرایند ARIMA پرداخت. نتایج نشان داد که فرایند ARIMA برتری بیشتری در مقایسه با مدل شبکه عصبی دارد. او بر این باور بود که علت اصلی عدم موفقیت مدل شبکه عصبی در این مطالعه، نبود قاعده و آزمونی مطمئن جهت انتخاب ساختار مناسب شبکه عصبی بوده و با توجه به اینکه نتایج فوق برگرفته از یک مطالعه خاص می‌باشد، نمی‌توان نتایج آن را تعمیم داد. همچنین چرچ و همکاران (Church & et al., 1996) مخارج مصرف کنندگان انگلیسی را با استفاده از مدل‌های اقتصادسنجی و شبکه عصبی برای دهه ۹۰ پیش‌بینی کردند. نتایج تحقیق آنان حاکی از آن است که شبکه‌های عصبی به خوبی، اما نه بهتر از روش‌های اقتصادسنجی، می‌توانند مخارج مصرف کنندگان این کشور را پیش‌بینی نمایند.

از طرف دیگر، بر خلاف بسیاری از بازارهای مهم که از زوایای مختلف توسط محققان مورد بررسی قرار گرفته اند، بازار محصولات کشاورزی از عرصه تحقیقات نوین پیش‌بینی به دور مانده به گونه‌ای که همان محدود مطالعات انجام شده نیز غالباً بر پایه روش‌های اقتصادسنجی استوار است (Haoffi & et al., 2007). علاوه براین، در ایران نخستین بار در سال ۱۳۳۳ با واردات تعدادی جوجه و تخم مرغ از نژادهای اصلاح شده، شالوده فعالیت صنعت مرغداری به شیوه نوین بنیانگذاری شد. همزمان با توسعه و گسترش مرغداریهای پرورش مرغ

گوشتی، واحدهای تولید مرغ تخمگذار و پولت نیز توسعه یافت به طوری که تولید تخم مرغ طی سالهای ۱۳۶۱-۱۳۸۲ به طور متوسط سالانه ۴/۴ درصد رشد داشته که با توجه به رشد جمعیت کشور، مصرف سرانه آن از رشد ۱/۶ درصدی برخوردار بوده است. نرخ بالای بازدهی در این بخش باعث جذب سرمایه به این بخش گردید و این امر طی سالهای ۱۳۷۲-۸۲ زمینه دستیابی به رشد مناسب در تولید تخم مرغ (۴/۳ درصد) را فراهم ساخت و بر انگیزه صاحبان سرمایه برای سرمایه‌گذاری و ایجاد ظرفیت‌های جدید تولیدی به شدت افزود (جیران و همکاران، ۱۳۸۴). همچنین علی‌رغم نرخ بازده مناسب سرمایه در صنعت مرغداری، به دلیل نوسان شدید و غیرمنتظره قیمت فراورده‌های تولیدی این صنعت، تولید در این بخش همواره با ریسک بالایی توازن بوده است. بنابراین توجه به ثبات نسبی قیمت‌ها و پیش‌بینی قیمت طیور و فراورده‌های آن از جمله تخم مرغ می‌تواند نقش بسزایی در تنظیم سیاست‌گذاریها به منظور کنترل ناپایداری قیمت‌ها و در نهایت کاهش ریسک بازار این محصولات داشته باشد (طیبی و همکاران، ۱۳۸۸). لذا در این مطالعه کارایی مدل جدید عصبی-فازی^۱ ANFIS با مدل شبکه عصبی ANN^۲ و مدل خطی ARIMA^۳، در پیش‌بینی قیمت تخم مرغ برای سه افق زمانی (۱، ۲ و ۴ هفته آینده) مقایسه و به این منظور از مهمترین معیارهای ارزیابی کارایی مدلها از جمله مجدور ضریب همبستگی (R^2)، میانگین قدر مطلق انحراف^۴، میانگین مربع خطأ^۵ و ریشه میانگین مربع خطأ^۶ استفاده شد.

گفتنی است موفقیت شبکه‌های عصبی به عنوان ابزاری قدرتمند بهمنظور تجزیه و تحلیل داده‌ها، موجب شد تا توجه اقتصاددانان نیز به این روش پیش‌بینی جلب شود و در اواخر دهه ۸۰ میلادی مدل‌های مختلفی جهت پیش‌بینی متغیرهای اقتصادی ساخته شود. مدل‌های شبکه

-
1. Adaptive Neuro-Fuzzy Inference System
 2. Artificial Neural Network
 3. Auto-Regressive Integrated Moving Average
 4. Mean Absolute Deviation
 5. Mean Square Error
 6. Root Mean Square Error

مقایسه توان پیش‌بینی مدل

عصبی به رغم کاربردهای بسیار مفید و مثبتی که در زمینه‌های گوناگون علمی داشته اند، از برخی لحاظ مورد نقد نیز قرار گرفته اند. در واقع نقطه قوت مدل‌های شبکه عصبی از لحاظ آزادی از قید و بنددهای مفروضات مدل‌های آماری، از نظر برخی آماردانان و اقتصاددانان همان نقطه ضعف آن نیز به شمار می‌رود. این محققان، بعضًا مدل‌های شبکه عصبی را به جعبه‌ای سیاه که هیچ گونه اطلاعی از کم و کیف فعل و انفعالات درونی آن در دست نیست، تشبیه می‌کنند. از نظر این معتقدان، اگر قرار باشد این گونه مدل‌ها بدون نیاز به تئوریهای اقتصادی از هر گونه متغیر دلخواه برای توضیح تغییرات متغیرهای مورد نظر استفاده نمایند و برآش خوبی نیز تحويل دهنده، چگونه می‌توان به نتایج آنها اطمینان داشت؟ به نظر می‌رسد از هر دو بعد تقدیر و انتقاد از این گونه مدل‌ها زیاده‌روی شده است. از طرفی، ادعای اینکه این مدل‌ها محققان را از تئوریهای اقتصادی و همچنین تجزیه و تحلیل استنباطات متداول آماری بی‌نیاز ساخته اند، ادعایی بی‌پایه و اثبات نشده است و از طرف دیگر، جعبه سیاه تلقی کردن این مدل‌ها و به عبارتی منفعل خواندن محققان در ارتباط با آنها را نیز نمی‌توان بسیار معتبر دانست. برخی محققین مانند مشیری و کامرون (۲۰۰۰) نشان دادند که هر چند می‌توان بدون استفاده جزء به جزء از تئوریهای اقتصادی به برآش خوبی از متغیرهای مورد نظر دست یافت، اما نمی‌توان نتایج خوبی در پیش‌بینی به دست آورد. از نظر آماری نیز تحقیقات زیادی در ارتباط با یافتن ویژگیهای آماری این مدل‌ها و انطباق آنها با مفاهیم رگرسیون صورت گرفته که نتایج قابل توجهی نیز داشته اند (مشیری، ۱۳۸۰). همچنین در زمینه کاربرد مدل‌های عصبی در پیش‌بینی سریهای زمانی فهیمی فرد (۲۰۰۹)، آذربایجانی و همکاران (۲۰۰۷)، اینس و همکاران (۲۰۰۵)، هروی و همکاران (۲۰۰۴)، اولسون و موشن (۲۰۰۳)، رچ (۲۰۰۲)، مشیری و کامرون (۲۰۰۰)، فهیمی فرد (۱۳۸۷)، اثنی عشری (۱۳۸۶)، نجفی و همکاران (۱۳۸۵)، مشیری و مروت (۱۳۸۴)، روشن (۱۳۸۳)، اصفهانیان (۱۳۸۲)، به مطالعه و بررسی پرداخته و نتیجه گرفته‌ند که مدل‌های عصبی در مقایسه با مدل‌های خطی از عملکرد بهتری برخوردارند.

مواد و روشها

۱. مدل خود رگرسیون میانگین متحرک انباسته (ARIMA)

یکی از ابزارهای پیش‌بینی روش باکس- جنکیتز می‌باشد که از نظر تکنیکی به متداول‌تری ARIMA شهرت یافته است. به طور کلی این روش دارای ۴ مرحله است؛ مرحله اول که شناسایی آزمایشی نام دارد و با استفاده از تابع خود همبستگی نمونه و تابع جزئی خود همبستگی نمونه انجام می‌گیرد. به محض اینکه مدل به طور آزمایشی شناسایی شد، وارد مرحله دوم شده و به تخمین پارامترها می‌پردازد (مرحله تخمین). مرحله سوم، مرحله تشخیص دقیق برآش نام دارد که در این مرحله کفایت شناسایی آزمایشی و تخمینی که در مورد مدل انجام شده است، مورد ارزیابی قرار می‌گیرد. اگر نامناسب بودن مدل به اثبات برسد، مدل باید مورد تعديل و اصلاح قرار گیرد. زمانی که مدل نهایی حاصل می‌شود، در مرحله چهارم از آن می‌توان به منظور پیش‌بینی مقادیر آینده سری زمانی استفاده کرد (مرحله پیش‌بینی) (Box and Jenkins, 1970).

مدل (p,d,q) ARIMA برای قیمت خرده‌فروشی تخم مرغ به صورت زیر تعریف

می‌شود:

$$E_t = f(t) + \phi_1 E_{t-1} + \dots + \phi_p E_{t-p} + e_t + \theta_1 e_{t-1} + \dots + \theta_q e_{t-q} \quad (1)$$

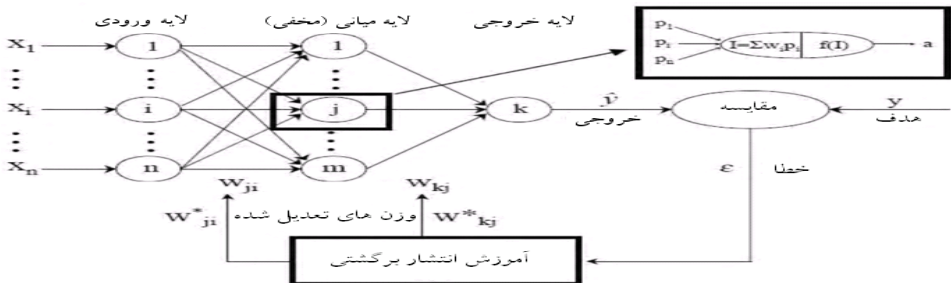
که در آن E_t ، ϕ و θ به ترتیب قیمت خرده‌فروشی تخم مرغ در زمان t ، درجه خود رگرسیونی (AR) و درجه میانگین متحرک (MA)، ضریب خود رگرسیونی و ضریب میانگین متحرک می‌باشند.

۲. مدل شبکه عصبی مصنوعی (ANN)

ساختار شبکه‌های عصبی مصنوعی که معماری به آن اطلاق می‌گردد، به گونه‌ای است که نرونها در دسته‌هایی که لایه نام دارند، مرتب می‌شوند. معماری معمول شبکه عصبی مت Shankل از سه لایه است: لایه ورودی (داده‌ها را در شبکه توزیع می‌کند)، لایه پنهان (داده‌ها را

مقایسه توان پیش‌بینی مدل

پردازش می‌کند) و لایه خروجی (نتایج را به ازای ورودیهای مشخص استخراج می‌کند). شکل زیر شبکه عصبی پیشخور را نشان می‌دهد (Karayiannis and Venetsanopoulos, 1993).



شکل ۱. شبکه عصبی پیشخور (Feedforward)

مطابق شکل فوق، به منظور پیش‌بینی، شبکه عصبی فضای ورودی را که شامل مقادیر جاری و گذشته سری زمانی و یا سایر متغیرهای توضیحی (X_1, \dots, X_n) می‌باشد، به فضای خروجی یا مقادیر پیش‌بینی (\hat{Y}) می‌نگارد. در این مطالعه خروجی شبکه عصبی، که برای پیش‌بینی سری زمانی قیمت خردفروشی تخم مرغ به کار می‌رود، عبارت است از:

$$\hat{E}_t = f(E_{t-1}, E_{t-2}, \dots, E_{t-p}) \quad (2)$$

به طوری که \hat{E}_t مقدار پیش‌بینی قیمت خردفروشی تخم مرغ در زمان t و p بعد بردار ورودی یا تعداد وقفه‌هایی می‌باشد که در مدل وارد شده است. رابطه فوق را به صورت زیر نیز می‌توان نشان داد:

$$f(E, w) = f(\beta_0 + \sum_{j=1}^q K(E\gamma_j)\beta_j) \quad (3)$$

به طوری که $f(E, w)$ ستانده نهایی محاسبه شده توسط مدل و $K(E\gamma_j)$ ستانده واحد میانی j است. برای f و K معمولاً از توابع غیر خطی، به عنوان مثال تابع سیگموئید (logsig)، استفاده می‌شود که داده‌ها را بین صفر و یک تبدیل می‌نمایند. $E = [1, E_1, \dots, E_r]$ بردار داده‌هاست و عدد ۱ برای واحد ثابت یا تورش در نظر گرفته شده است. $w = (\gamma_1, \gamma_2, \dots, \gamma_q, \beta_j)$ ماتریس حاوی ضرایب ارتباطی است. هر یک از γ_j ‌ها نمایانگر یک بردار $r \times 1$ حاوی وزنهای یا ضرایب ارتباطی بین متغیرهای بردار داده‌ها و یکی از واحدهای

میانی است. β_j نیز برداری می‌باشد که شامل وزنهای ارتباطی هر واحد میانی و بردار ستاندۀ است (Hykin, 1994).

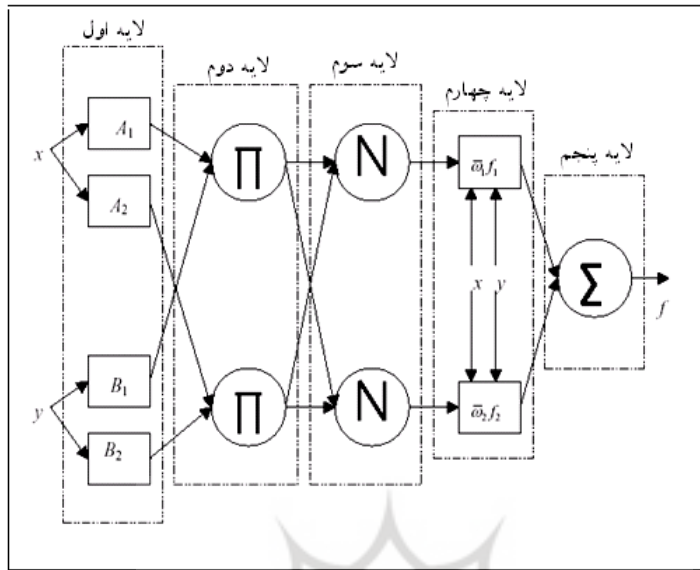
۳. مدل استنتاجی تطبیقی فازی- عصبی (ANFIS)

این مدل که توسط یانگ در سال ۱۹۹۶ بسط یافت، اجازه می‌دهد که سیستمهای فازی در مباحث آموزش پارامترها، از الگوریتم آموزش انتشار خطأ به عقب تطبیقی استفاده نمایند (Morgan, 1998). از یک ساختار ANFIS، که از مجموعه‌ای از قواعد IF-THEN فازی نوع TSK (فقط برای یک قانون) تشکیل گردیده است، می‌توان جهت مدلسازی و نگاشت داده‌های ورودی- خروجی استفاده کرد. تعریف معمولی از این مدل شناسایی یک تابع \hat{f} (به طوری که تقریباً بتواند به جای تابع اصلی f مورد استفاده قرار گیرد) می‌باشد. سیستم فازی با مجموعه‌ای شامل N قاعده فازی، برای پیش‌بینی قیمت خردۀ فروشی تخم مرغ به صورت زیر

$$f(x) = \frac{\sum_{i=1}^N E_t \left(\prod_{i=1}^n \mu_{A_i^{(ji)}} (E_{t-p_i}) \right)}{\sum_{i=1}^N \left(\prod_{i=1}^n \mu_{A_i^{(ji)}} (E_{t-p_i}) \right)} \quad (\text{Morgan, 1998})$$

که در رابطه فوق E_{t-p} ، μ_A و x_i به ترتیب عبارتند از: وقفه‌های قیمت خردۀ فروشی تخم مرغ تا مرتبه p مرتبه عضویت، مجموعه فازی و قاعده فازی. همچنین (x_i) بیانگر مرتبه عضویت از ورودی x_i مربوطه به مقدار قاعده فازی i می‌باشد. شکل ۲ ساختار مدل ANFIS را نشان می‌دهد (Tanaka, 1998).

مقایسه توان پیش‌بینی مدل



شکل ۲. ساختار مدل ANFIS

- لایه اول: در این لایه x یا y ورودی به گره i و A_i یا B_{i-2} اسامی متغیرهای زبانی منطبق با این گره می‌باشد.

- لایه دوم: هر گره در این لایه، یک گره ثابت به نام P می‌باشد که خروجی آنها محصول تمام سیگنالهای ورودی می‌باشد:

$$O_{2,i} = w_i = \mu A_i(x_i) \mu B_i(y_i), \quad i = 1, 2. \quad (5)$$

هر گره خروجی بیانگر شدت برانگیختگی^۱ یک قاعده می‌باشد.

- لایه سوم: هر گره در این لایه، یک گره ثابت به نام N می‌باشد و i امین گره، نسبت i امین قاعده شدت برانگیختگی را برای تمام قاعده‌های شدت برانگیختگی به صورت زیر محاسبه می‌کند:

$$O_{3,i} = \bar{w}_i = \frac{w_i}{w_1 + w_2}, \quad i = 1, 2. \quad (6)$$

- لایه چهارم: هر گره i در این لایه، یک گره منطبق باتابع گره، به صورت زیر می‌باشد:

1. Firing Strength

$$O_{4,i} = \bar{w}_i f_i = \bar{w}_i (p_i x + q_i y + r_i), \quad i = 1, 2. \quad (7)$$

که در آن \bar{w}_i یک شدت برانگیختگی نرمال شده از لایه سوم و p_i ، q_i و r_i مجموعه پارامترهای این گره می‌باشد. همچنین پارامترهای این لایه به پارامترهای استنتاجی موسومند.
- لایه پنجم: تنها گره این لایه، یک گره ثابت به نام \sum می‌باشد که تمامی خروجی‌ها

را به عنوان مجموع همه سیگنالهای ورودی به صورت زیر محاسبه می‌کند:

$$O_{5,i} = \sum_i \bar{w}_i f_i = \frac{\sum_i w_i f_i}{\sum_i w_i}, \quad i = 1, 2. \quad (8)$$

۴. معیارهای ارزیابی کارایی مدلها

هایکین (۱۹۹۴)، به منظور بررسی کارایی مدل‌های پیش‌بینی سریهای زمانی، معیارهایی را معرفی کرد که نام و فرمول برخی از مهمترین آنها در زیر آمده است (Hykin, 1994):

$R^2 = 1 - \frac{\sum (\hat{y}_t - y_t)^2}{\sum \hat{y}_t^2}$ مجدد ضریب همبستگی:

$MAD = \frac{\sum |\hat{y}_t - y_t|}{n}$ میانگین قدر مطلق انحرافات:

$MSE = \frac{\sum (\hat{y}_t - y_t)^2}{n}$ میانگین مربع خطای:

$RMSE = \sqrt{\frac{\sum (\hat{y}_t - y_t)^2}{n}}$ ریشه میانگین مربع خطای:

در روابط فوق y_t ، \hat{y}_t و n به ترتیب مقدار هدف (مشاهده واقعی)، خروجی مدل و تعداد مشاهدات می‌باشد. واضح است که بهترین مقدار برای R^2 برابر ۱ و برای سایر معیارها صفر می‌باشد.

داده‌ها

در این مطالعه قیمت تخم مرغ به عنوان تابعی از مقادیر گذشته آن مدل‌سازی می‌شود. گرچه الگوسازی تنها با استفاده از مقادیر گذشته متغیر وابسته تاحدی ساده بوده و دارای توجیه پذیری بالایی براساس تئوریهای اقتصادستنجی نمی‌باشد، اما مطالعات بسیاری وجود دارد

مقایسه توان پیش‌بینی مدل

که اثبات می‌کنند، مدل‌های ساده - حداقل در زمینه پیش‌بینی - کارایی بهتری در مقایسه با مدل‌های پیچیده دارند (Chen and etal., 2001). همچنین داده‌های مورد نیاز به منظور مقایسه مدل‌های مذکور، شامل سری زمانی هفت‌تایی قیمت خردفروشی تخم مرغ برای دوره ۱۳۸۷:۴-۱۳۸۱:۱ می‌باشد که از پایگاه اینترنتی شرکت پیشتیبانی امور دام کشور گردآوری شدند. جهت طراحی مدل ARIMA از نرم‌افزار Microfit 4.1 و جهت طراحی مدل‌های ANN و ANFIS از نرم‌افزار Matlab^a استفاده شد. همچنین در تمام موارد دوره ۱۳۸۵:۵-۱۳۸۱:۱ (% ۷۰ مشاهدات) به آموزش و دوره ۱۳۸۷:۴-۱۳۸۵:۵ (% ۳۰ مشاهدات) به تست مدلها اختصاص داده می‌شود.

نتایج و بحث

بررسی کارایی مدل ARIMA در پیش‌بینی سری زمانی قیمت خردفروشی تخم مرغ

به منظور بررسی کارایی مدل ARIMA در پیش‌بینی سری زمانی مذکور، درجه هم‌جمعی متغیرها (d) از طریق آزمون دیکی فولر تعیین یافته تعیین شد. نتایج این آزمون بیانگر ناپایایی این سری زمانی در سطح است که پس از یک بار تفاضل گیری ($d=1$)، قدر مطلق آماره محاسباتی در سطح به $16/25$ تغییر یافت (مقدار بحرانی = $2/87$). برای افقهای ۱، ۲ و ۴ هفته آتی، درجه خود رگرسیونی (p) به ترتیب برابر ۱، ۲ و ۴ در نظر گرفته شد و برای هر یک از افقهای زمانی، مدل‌هایی با درجه فرایند MA برابر ۱، ۲ و ۳ تخمین و از مدل دارای بیشترین مقدار معیار شوارز - بیزین برای تعیین درجه میانگین متحرک (q) استفاده شد. سپس ساختار تعیین شده در انجام پیش‌بینی‌های خارج از نمونه به کار رفت و در نهایت این پیش‌بینی‌ها با به کارگیری معیارهای ارزیابی مدلها با داده‌های واقعی مقایسه شد. جدول ۱ خلاصه‌ای از این نتایج را نشان می‌دهد:

جدول ۱. کارایی مدل ARIMA در پیش‌بینی سری زمانی قیمت خرد و فروشی تخم مرغ

| نمايش هندسي پيش بيني قيمت تخم مرغ | ARIMA | | | | | | |
|-----------------------------------|-----------------------------------------------------------------------------------------------------------------------------------------------------------------------------------------------|--------|-----|-------|--------|--------|--------|
| | یک هفته آینده ساختار $(1,1,2)$ <table border="1"> <tr> <td>RMSE</td> <td>MAD</td> <td>R^2</td> </tr> <tr> <td>۰/۰۱۸۰</td> <td>۰/۰۱۶۰</td> <td>۰/۹۵۳۳</td> </tr> </table> | RMSE | MAD | R^2 | ۰/۰۱۸۰ | ۰/۰۱۶۰ | ۰/۹۵۳۳ |
| RMSE | MAD | R^2 | | | | | |
| ۰/۰۱۸۰ | ۰/۰۱۶۰ | ۰/۹۵۳۳ | | | | | |
| | دو هفته آینده ساختار $(2,1,1)$ <table border="1"> <tr> <td>RMSE</td> <td>MAD</td> <td>R^2</td> </tr> <tr> <td>۰/۰۱۸۸</td> <td>۰/۰۱۷۱</td> <td>۰/۹۴۹۳</td> </tr> </table> | RMSE | MAD | R^2 | ۰/۰۱۸۸ | ۰/۰۱۷۱ | ۰/۹۴۹۳ |
| RMSE | MAD | R^2 | | | | | |
| ۰/۰۱۸۸ | ۰/۰۱۷۱ | ۰/۹۴۹۳ | | | | | |
| | چهار هفته آینده ساختار $(4,1,1)$ <table border="1"> <tr> <td>RMSE</td> <td>MAD</td> <td>R^2</td> </tr> <tr> <td>۰/۰۱۸۹</td> <td>۰/۰۱۶۷</td> <td>۰/۹۴۷۳</td> </tr> </table> | RMSE | MAD | R^2 | ۰/۰۱۸۹ | ۰/۰۱۶۷ | ۰/۹۴۷۳ |
| RMSE | MAD | R^2 | | | | | |
| ۰/۰۱۸۹ | ۰/۰۱۶۷ | ۰/۹۴۷۳ | | | | | |

مأخذ: یافته‌های تحقیق

سمت راست جدول فوق نمايش هندسي مقادير واقعی و پيش‌بینی شده سری زمانی مورد بررسی توسط مدل ARIMA را که شامل Actual و Forecast می‌باشد، نشان می‌دهد (محور عمودی میان قیمت و محور افقی نشانده‌هنده هفتاهاست) به‌طوری که مدل ARIMA تصریح شده برای افقهای زمانی مورد نظر، با استفاده از داده‌های واقعی داخل نمونه^۱، مقادیر پيش‌بینی شده (Forecast) را در مقایسه با داده‌های واقعی خارج از نمونه^۲ ارائه داده است. سمت چپ این جدول نیز بیانگر ساختار مدل ARIMA برای افقهای زمانی ۱، ۲ و ۴ هفته آتی سری زمانی مورد مطالعه و مقادیر معیارهای ارزیابی حاصل از مقایسه داده‌های واقعی خارج از نمونه با مقادیر پيش‌بینی شده این مدل می‌باشد به‌طوری که مقادیر بیشتر R^2 ، مقادیر کمتر RMSE و MAD بیانگر کارایی بیشتر مدلها می‌باشد. با مشاهده جدول ۱ می‌توان دریافت که با افزایش افق پيش‌بینی کارایی این مدل در پيش‌بینی سری زمانی مورد نظر کاهش می‌یابد.

-
1. In Sample
 2. Out of Sample

مقایسه توان پیش‌بینی مدل

بررسی کارایی مدل ANN در پیش‌بینی سری زمانی قیمت خردفروشی تخم مرغ

به منظور بررسی کارایی این مدل در پیش‌بینی سریهای زمانی مورد نظر برای افقهای زمانی ۱، ۲ و ۴ هفته آینده، به ترتیب از وقفه‌های ۱، ۲ و ۴ داده‌های نرمال شده استفاده شد. همچنین برای افقهای ۱، ۲ و ۴ هفته آینده، ساختارهای مختلف شبکه انتشار برگشتی پیشخور (۱، ۲، ۳، ۴ و ۵ گره در لایه پنهان) باتابع فعال سازی *logsig*، الگوریتم آموزشی Levenberg-Marquardt ۱۰۰ تکرار^۱ و نرخ آموزش ۰/۰۱ طراحی شد. نهایتاً برای بررسی کارایی این مدل، با استفاده از معیارهای ارزیابی مدلها، داده‌های خروجی هر شبکه با داده‌های واقعی مقایسه شد. جدول ۲ خلاصه‌ای از این نتایج را نشان می‌دهد.

جدول ۲. کارایی مدل ANN در پیش‌بینی سری زمانی قیمت خردفروشی تخم مرغ

| نمایش هندسی پیش‌بینی قیمت تخم مرغ | | ANN | | | | | |
|-----------------------------------|--|----------------------|--------|----------------|--------|--------|--------|
| | | یک هفته آینده | | | | | |
| | | ساختار ۵-۵-۴-۳-۲-۱-۱ | | | | | |
| | | RMSE | MAD | R ² | آزمون | آزمون | آزمون |
| | | ۰/۰۰۴۲ | ۰/۰۰۱۴ | ۰/۰۰۴۲ | ۰/۰۰۱۱ | ۰/۹۹۸۷ | ۰/۹۹۹۹ |
| | | دو هفته آینده | | | | | |
| | | ساختار ۵-۳-۲-۱-۱ | | | | | |
| | | RMSE | MAD | R ² | آزمون | آزمون | آزمون |
| | | ۰/۰۰۶۱ | ۰/۰۰۲۴ | ۰/۰۰۶۰ | ۰/۰۰۱۷ | ۰/۹۶۸ | ۰/۹۹۹۹ |
| | | چهار هفته آینده | | | | | |
| | | ساختار ۵-۵-۴-۳-۲-۱-۱ | | | | | |
| | | RMSE | MAD | R ² | آزمون | آزمون | آزمون |
| | | ۰/۰۰۴۱ | ۰/۰۰۲۴ | ۰/۰۰۴۱ | ۰/۰۰۱۹ | ۰/۹۹۶۹ | ۰/۹۹۹۹ |

مأخذ: یافته‌های تحقیق

اقتصاد کشاورزی و توسعه - سال نوزدهم، شماره ۷۴

به طور مشابه، سمت راست جدول فوق نمایش هندسی مقادیر واقعی (Target) و پیش‌بینی شده یا خروجی (Output) سری زمانی مورد بررسی را توسط مدل ANN نشان می‌دهد به طوری که مدل فوق به ازای داده‌های آموزش (Train) و آزمون (Test) واقعی، مقادیر پیش‌بینی شده یا خروجی ANN را که خود نیز شامل دو بخش آموزش و آزمون می‌باشد، ارائه کرده است. همچنین سمت چپ این جدول بیانگر بهترین ساختار طراحی شده مدل ANN برای هر یک از افقهای زمانی ۱، ۲ و ۴ هفته آتی و مقادیر معیارهای ارزیابی حاصل از مقایسه داده‌های بخش آزمون واقعی با مقادیر بخش آزمون پیش‌بینی شده یا خروجی این مدل می‌باشد. ساختار شبکه‌های طراحی شده نیز به گونه‌ای می‌باشد که اولین عدد از سمت چپ بیانگر تعداد ورودیها و آخرین عدد بیانگر تعداد خروجی بوده و اعداد بین آنها نشان‌دهنده تعداد گره‌ها و نرونها موجود در هر گره می‌باشد. همان‌طور که جدول ۲ نشان می‌دهد، این مدل در پیش‌بینی سری زمانی برای یک هفته آتی از کارایی بیشتری برخوردار می‌باشد.

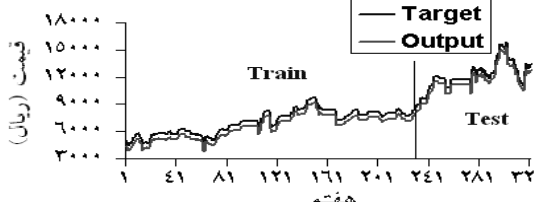
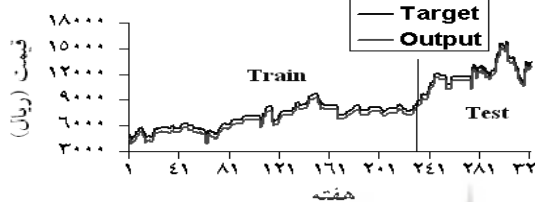
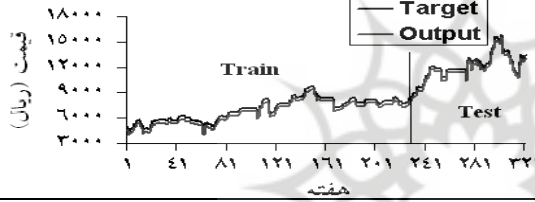
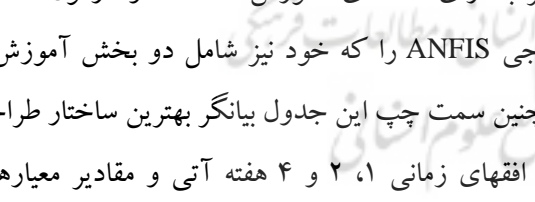
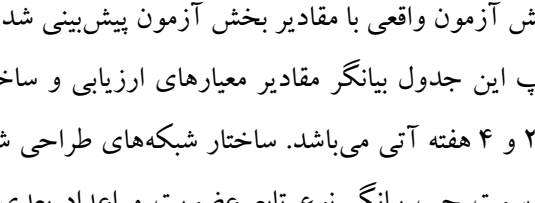
بررسی کارایی مدل ANFIS در پیش‌بینی سری زمانی قیمت خرد فروشی تخم مرغ

به منظور بررسی کارایی این مدل در پیش‌بینی سری زمانی مذکور برای افقهای زمانی ۱، ۲ و ۴ هفته آینده، به ترتیب از وقفه‌های ۱، ۲ و ۴ داده‌های نرمال شده استفاده شد. از الگوریتم آموزشی هیبریدی برای تعیین پارامترهایتابع عضویت سیستمهای استنتاج فازی از نوع سوگنوی^۱ یک خروجی استفاده شد و به منظور آموزش پارامترهایتابع عضویت سیستم استنتاج فازی مجموعه مفروض داده‌های ورودی- خروجی، ترکیب روش‌های حداقل مربعات و شبکه نزولی انتشار برگشتی به کار گرفته شد. برای افقهای مورد نظر، مدل‌های مختلفی با توابع عضویت gauss² و تعداد تابع عضویت (۲، ۳ و ۴) با شبکه عصبی انتشار برگشتی پیشخور، تابع فعال سازی logsig و تکرار ۱۰۰ طراحی گردید. نهایتاً برای بررسی کارایی این مدل، با استفاده از معیارهای ارزیابی مدل‌ها، داده‌های خروجی هر مدل با داده‌های واقعی مقایسه شد. جدول ۳ خلاصه‌ای از این نتایج را نشان می‌دهد:

1. Sugeno

مقایسه توان پیش‌بینی مدل

جدول ۳. کارایی مدل ANFIS در پیش‌بینی سری زمانی قیمت خرد فروشی تخم مرغ

| نمایش هندسی پیش‌بینی قیمت تخم مرغ | | ANFIS | | | | | |
|-------------------------------------------------------------------------------------|--------|------------------------|--------|------------|--------|----------------------|--------|
|  | | <u>یک هفته آینده</u> | | | | | |
|  | | ساختار ۱۰۰-۲-۳ | | | | | |
| | | RMSE | | MAD | | R² | |
| آموزش | آزمون | آموزش | آزمون | آموزش | آزمون | ۰/۹۹۸۹ | ۰/۹۹۹۹ |
| ۰/۰۰۳۷ | ۰/۰۰۱۲ | ۰/۰۰۲۹ | ۰/۰۰۰۵ | ۰/۰۰۱۱ | ۰/۰۰۳۳ | ۰/۹۹۸۸ | ۰/۹۹۹۹ |
|  | | <u>دو هفته آینده</u> | | | | | |
|  | | ساختار ۱۰۰-۴-۱ | | | | | |
| | | RMSE | | MAD | | R² | |
| آموزش | آزمون | آموزش | آزمون | آموزش | آزمون | ۰/۹۹۹۸ | ۰/۹۹۹۹ |
| ۰/۰۰۳۳ | ۰/۰۰۱۱ | ۰/۰۰۳۳ | ۰/۰۰۱۱ | ۰/۰۰۱۱ | ۰/۰۰۱۱ | ۰/۹۹۹۸ | ۰/۹۹۹۹ |
|  | | <u>چهار هفته آینده</u> | | | | | |
|  | | ساختار ۱۰۰-۴-۲ | | | | | |
| | | RMSE | | MAD | | R² | |
| آموزش | آزمون | آموزش | آزمون | آموزش | آزمون | ۰/۹۹۹۱ | ۰/۹۹۹۹ |
| ۰/۰۰۲۶ | ۰/۰۰۲۰ | ۰/۰۰۲۶ | ۰/۰۰۱۱ | ۰/۰۰۱۱ | ۰/۰۰۱۱ | ۰/۹۹۹۱ | ۰/۹۹۹۹ |

مأخذ: یافته‌های تحقیق

سمت راست جدول فوق نیز نمایش هندسی مقادیر واقعی (Target) و پیش‌بینی شده یا خروجی (Output) سری زمانی مورد بررسی را توسط مدل ANFIS نشان می‌دهد به طوری که همانند مدل ANN مدل ANFIS نیز به ازای داده‌های آموزش (Train) و آزمون (Test) واقعی، مقادیر پیش‌بینی شده یا خروجی ANFIS را که خود نیز شامل دو بخش آموزش و آزمون می‌باشد، ارائه کرده است. همچنین سمت چپ این جدول بیانگر بهترین ساختار طراحی شده مدل ANFIS برای هر یک از افقهای زمانی ۱، ۲ و ۴ هفته آتی و مقادیر معیارهای ارزیابی حاصل از مقایسه داده‌های بخش آزمون واقعی با مقادیر بخش آزمون پیش‌بینی شده یا خروجی این مدل می‌باشد. سمت چپ این جدول بیانگر مقادیر معیارهای ارزیابی و ساختار مدل ANFIS برای افقهای زمانی ۱، ۲ و ۴ هفته آتی می‌باشد. ساختار شبکه‌های طراحی شده به گونه‌ای می‌باشد که گزاره اول از سمت چپ بیانگر نوع تابع عضویت و اعداد بعدی به

اقتصاد کشاورزی و توسعه - سال نوزدهم، شماره ۷۴

ترتیب یانگر تعداد تابع عضویت و تکرار می‌باشد. همان‌طور که جدول فوق نشان می‌دهد، این مدل در پیش‌بینی سری زمانی برای دو هفته آتی از کارایی بیشتری برخوردار می‌باشد.

مقایسه کارایی مدل‌های ARIMA و ANN در پیش‌بینی سری زمانی قیمت خرد فروشی تخم مرغ

به منظور مقایسه کارایی مدل‌های مذکور در پیش‌بینی سری زمانی قیمت خرد فروشی تخم مرغ، کمیت مربوط به معیارهای ارزیابی تست مدل‌های ANN بر کمیت مربوط به معیارهای ارزیابی مدل ARIMA و کمیت مربوط به معیارهای ارزیابی تست مدل‌های ANFIS بر کمیت مربوط به معیارهای ارزیابی تست بهترین مدل ANN در هر افق زمانی تقسیم شدند. جدول ۴ خلاصه‌ای از این نتایج را نشان می‌دهد.

جدول ۴. مقایسه کارایی مدل‌های ARIMA و ANN در پیش‌بینی قیمت خرد فروشی تخم مرغ

| ANN/ARIMA | | | | | | |
|-----------|--------|--------|--------|---------------|---------|-----------|
| RMSE | MSE | MAD | R^2 | ساختار | | افق زمانی |
| | | | | ANN | ARIMA | |
| ۰/۳۳۳۳ | ۰/۲۰۰۰ | ۰/۳۶۸۸ | ۱/۰۴۷۷ | ۵-۲-۱-۱ | (۱,۱,۲) | ۱ هفت |
| ۰/۶۵۰۰ | ۰/۴۰۰۰ | ۰/۷۲۵۰ | ۱/۰۴۳۴ | ۵-۳-۲-۱-۱ | (۱,۱,۲) | |
| ۰/۴۰۰۰ | ۰/۲۰۰۰ | ۰/۴۴۳۸ | ۱/۰۴۷۸ | ۵-۴-۳-۲-۱-۱ | (۱,۱,۲) | |
| ۰/۲۳۳۳ | ۰/۲۰۰۰ | ۰/۲۶۲۵ | ۱/۰۴۷۶ | ۵-۵-۴-۳-۲-۱-۱ | (۱,۱,۲) | |
| ۰/۹۱۴۹ | ۰/۸۰۰۰ | ۱/۰۰۰۰ | ۱/۰۴۹۶ | ۵-۲-۱-۱ | (۲,۱,۱) | ۲ هفت |
| ۰/۳۲۴۵ | ۰/۲۰۰۰ | ۰/۳۵۰۹ | ۱/۰۵۰۰ | ۵-۳-۲-۱-۱ | (۲,۱,۱) | |
| ۰/۷۵۰۰ | ۰/۴۰۰۰ | ۰/۸۱۸۷ | ۱/۰۵۱۴ | ۵-۴-۳-۲-۱-۱ | (۲,۱,۱) | |
| ۰/۴۶۲۸ | ۰/۲۰۰۰ | ۰/۵۰۸۸ | ۱/۰۵۲۷ | ۵-۵-۴-۳-۲-۱-۱ | (۲,۱,۱) | |

مقایسه توان پیش‌بینی مدل

ادامه جدول ۴

| ۰/۴۰۷۴ | ۰/۲۰۰۰ | ۰/۴۶۱۱ | ۱/۰۴۸۲ | ۵-۲-۱-۱ | (۴,۱,۱) | |
|-----------|--------|--------|----------------|---------------|---------------|-----------|
| ۰/۶۱۳۸ | ۰/۴۰۰۰ | ۰/۵۸۶۸ | ۱/۰۵۰۸ | ۵-۳-۲-۱-۱ | (۴,۱,۱) | |
| ۰/۳۷۵۷ | ۰/۲۰۰۰ | ۰/۴۱۹۲ | ۱/۰۵۱۶ | ۵-۴-۳-۲-۱-۱ | (۴,۱,۱) | |
| ۰/۲۱۶۹ | ۰/۲۰۰۰ | ۰/۲۴۵۵ | ۱/۰۵۲۴ | ۵-۵-۴-۳-۲-۱-۱ | (۴,۱,۱) | |
| ۴ هفته | | | | | | |
| ANFIS/ANN | | | | | | |
| RMSE | MSE | MAD | R ² | ساختار | | افق زمانی |
| | | | | ANFIS | ANN | |
| ۰/۹۷۶۲ | ۱/۰۰۰۰ | ۰/۹۷۶۲ | ۱/۰۰۰۴ | gauss-۳-۱۰۰ | ۵-۵-۴-۳-۲-۱-۱ | |
| ۰/۸۸۱۰ | ۱/۰۰۰۰ | ۰/۶۹۰۵ | ۱/۰۰۰۲ | gauss۲-۳-۱۰۰ | ۵-۵-۴-۳-۲-۱-۱ | |
| ۰/۹۷۶۲ | ۱/۰۰۰۰ | ۰/۸۸۱۰ | ۱/۰۰۰۵ | gauss-۴-۱۰۰ | ۵-۵-۴-۳-۲-۱-۱ | ۱ هفته |
| ۰/۹۵۲۴ | ۱/۰۰۰۰ | ۰/۹۰۲۴ | ۱/۰۰۰۳ | gauss۲-۴-۱۰۰ | ۵-۵-۴-۳-۲-۱-۱ | |
| ۰/۹۵۰۸ | ۱/۰۰۰۰ | ۰/۹۵۰۰ | ۱/۰۰۲۶ | gauss-۳-۱۰۰ | ۵-۳-۲-۱-۱ | |
| ۰/۸۸۵۲ | ۱/۰۰۰۰ | ۰/۷۱۶۷ | ۱/۰۰۲۸ | gauss۲-۳-۱۰۰ | ۵-۳-۲-۱-۱ | |
| ۰/۵۴۱۰ | ۱/۰۰۰۰ | ۰/۵۵۰۰ | ۱/۰۰۳۰ | gauss-۴-۱۰۰ | ۵-۳-۲-۱-۱ | ۲ هفته |
| ۰/۸۰۳۳ | ۱/۰۰۰۰ | ۰/۸۰۰۰ | ۱/۰۰۲۹ | gauss۲-۴-۱۰۰ | ۵-۳-۲-۱-۱ | |
| ۰/۹۰۲۴ | ۱/۰۰۰۰ | ۰/۹۰۲۴ | ۱/۰۰۰۲ | gauss-۳-۱۰۰ | ۵-۵-۴-۳-۲-۱-۱ | |
| ۰/۶۵۸۵ | ۱/۰۰۰۰ | ۰/۷۰۷۳ | ۱/۰۰۱۹ | gauss۲-۳-۱۰۰ | ۵-۵-۴-۳-۲-۱-۱ | |
| ۰/۹۵۱۲ | ۰/۰۰۰۰ | ۰/۹۵۱۲ | ۱/۰۰۰۹ | gauss-۴-۱۰۰ | ۵-۵-۴-۳-۲-۱-۱ | ۳ هفته |
| ۰/۳۳۷۷ | ۰/۰۰۰۰ | ۰/۳۳۷۷ | ۱/۰۰۶۱ | gauss۲-۴-۱۰۰ | ۵-۵-۴-۳-۲-۱-۱ | |
| ۴ هفته | | | | | | |

مأخذ: یافته‌های تحقیق

همان‌طور که جدول فوق نشان می‌دهد، بزرگتر از یک بودن کمیت حاصل از تقسیم معیار R² مدل ANN بر مدل ARIMA در تمامی افقهای زمانی مورد بررسی بیانگر بزرگتر بودن این معیار برای مدل ANN در مقایسه با مدل ARIMA می‌باشد. همچنین کوچکتر و

اقتصاد کشاورزی و توسعه - سال نوزدهم، شماره ۷۴

مساوی یک بودن کمیت حاصل از تقسیم معیارهای RMSE، MSE و MAD مدل ANN بر مدل ARIMA در تمامی افکهای زمانی مورد بررسی بیانگر کوچکتر بودن این معیارها برای مدل ANN در مقایسه با مدل ARIMA می‌باشد. بنابراین می‌توان نتیجه گرفت که مدل ANN از کارایی بیشتری در مقایسه با مدل ARIMA در پیش‌بینی سری زمانی مورد نظر، برای هر سه افق زمانی مورد بررسی برخوردار می‌باشد.

علاوه بر این، به طور مشابه، بزرگتر از یک بودن کمیت حاصل از تقسیم معیار R^2 مدل ANFIS بر مدل ANN در تمامی افکهای زمانی مورد بررسی، بیانگر بزرگتر بودن این معیار برای مدل ANFIS در مقایسه با مدل ANN می‌باشد. همچنین کوچکتر و مساوی یک بودن کمیت حاصل از تقسیم معیارهای RMSE، MSE و MAD مدل ANN بر مدل ANFIS در تمامی افکهای زمانی نیز بیانگر کوچکتر بودن این معیارها برای مدل ANFIS در مقایسه با مدل ANN می‌باشد. بنابراین می‌توان نتیجه گرفت که مدل ANFIS از کارایی بیشتری در مقایسه با مدل ANN در پیش‌بینی سری زمانی مورد نظر، برای هر سه افق زمانی مورد بررسی برخوردار می‌باشد.

نتیجه‌گیری و پیشنهاد

پیش‌بینی متغیرهای اقتصادی غالباً متکی به مدل‌های اقتصادستنجی می‌باشد که توانایی این مدل‌ها در برآورد معادلات خاص منجر به استفاده وسیعی از آنها شده است. لیکن مدل‌های خطی و غیرخطی موجود که برای پیش‌بینی سریهای زمانی غیرخطی به کار می‌روند، ممکن است برای یک مسئله یا داده خاص کارا عمل نمایند اما نمی‌توان از این ابزارها به عنوان یک راه حل کلی برای برخورد با کلیه مسائل پیچیده استفاده نمود. این در حالی است که روش‌های عصبی می‌توانند انواع داده‌های آموزشی را فرا گرفته و براساس آن پیش‌بینی دقیقی ارائه نمایند. در این مطالعه کارایی مدل‌های عصبی- فازی ANFIS، شبکه عصبی ANN و خودرگرسیونی ARIMA در پیش‌بینی قیمت خردۀ فروشی تخم مرغ برای سه افق زمانی ۱، ۲ و ۴

مقایسه توان پیش‌بینی مدل

هفته آینده، با استفاده از مهمترین معیارهای ارزیابی مدلها، مقایسه شد که مهمترین نتایج به دست آمده عبارتند از:

۱. کمیت حاصل از تقسیم $R^{^2}$ مدل ARIMA بر مدل ANN برای هر یک از افقهای زمانی مورد بررسی، همواره بزرگتر از یک و حداقل برابر $1/0\cdot 434$ (مربوط به افق ۱ هفته آتی) می‌باشد. همچنین کمیت حاصل از تقسیم RMSE، MSE و MAD مدل ANN بر مدل ARIMA، برای هر یک از افقهای زمانی مورد بررسی همواره کوچکتر از یک بوده و حداکثر به ترتیب برابر $0/9149$ ، $0/8000$ و $1/0000$ (مربوط به افق ۲ هفته) می‌باشد. بنابراین می‌توان نتیجه گرفت که مدل ANN بر مدل ARIMA در پیش‌بینی سریهای زمانی مذکور برتری دارد.
 ۲. کمیت حاصل از تقسیم $R^{^2}$ مدل ANFIS بر مدل ANN برای هر یک از افقهای زمانی مورد بررسی، همواره بزرگتر از یک و حداقل برابر $1/0002$ (مربوط به افق ۴ هفته آتی) می‌باشد. همچنین کمیت حاصل از تقسیم RMSE، MSE و MAD مدل ANFIS بر مدل ANN برای هر یک از افقهای زمانی مورد بررسی، همواره کوچکتر یا مساوی یک بوده و حداکثر به ترتیب برابر $0/9762$ ، $0/1000$ و $0/9762$ (مربوط به افق ۱ هفته آتی) می‌باشد. بنابراین می‌توان گفت که مدل ANFIS بر مدل ANN در پیش‌بینی سری مور نظر برتری دارد.
- نهایتاً با توجه به اینکه بر خلاف بسیاری از بازارهای مهم، بازار محصولات کشاورزی از عرصه روش‌های نوین پیش‌بینی به دور مانده و پیش‌بینی صحیح قیمت در بازار محصولات کشاورزی تأثیرات مهمی در سیاستگذاری و برنامه‌ریزی‌های اقتصادی این بخش داشته است، به کارگیری و توسعه روش‌های نوین پیش‌بینی در بازار محصولات کشاورزی (از جمله روش‌های مختلف شبکه عصبی) و فراهم آوردن امکان پیش‌بینی دقیق‌تر متغیرهای بخش کشاورزی، به منظور کمک به سیاستگذاران و برنامه ریزان این بخش برای برنامه ریزی و تصمیم‌گیری‌های آتی پیشنهاد می‌شود.

۱. اثی عشری، ه. (۱۳۸۶)، تأثیر سیاست‌های پولی و مالی بر اشتغال بخش کشاورزی ایران، پایان نامه کارشناسی ارشد گروه اقتصاد کشاورزی، دانشگاه زابل.
۲. اصفهانیان، م. (۱۳۸۲)، ارایه یک مدل شبکه عصبی جهت پیش‌بینی قیمت نفت خام، پایان نامه کارشناسی ارشد، بخش مهندسی صنایع، دانشگاه تربیت مدرس.
۳. جیران، ع.، م. محمدیان و الف. مهربانیان (۱۳۸۴)، مروری بر سیاستهای حمایتی گوشت مرغ در کشورهای منتخب و تحلیلی بر فرآیند تنظیم بازار مرغ و تخم مرغ، وزارت جهاد کشاورزی معاونت برنامه‌ریزی و اقتصادی، مؤسسه پژوهش‌های برنامه ریزی و اقتصاد کشاورزی، صفحه ۵۹.
۴. روشن، ر. (۱۳۸۳)، پیش‌بینی تورم ایران به کمک مدل‌های ARCH، GARCH و ARIMA و شبکه‌های عصبی و مقایسه کارایی مدل‌های مذکور، پایان نامه کارشناسی ارشد دانشکده علوم اداری اقتصادی، دانشگاه زاهدان.
۵. پایگاه اطلاعاتی شرکت پیش‌بینی امور دام کشور: www.IranSLAL.com
۶. طیبی، ک.، ک. آذربایجانی ول. بیاری (۱۳۸۸)، پیش‌بینی قیمت تخم مرغ در ایران: مقایسه روش‌های ARCH و شبکه‌های عصبی مصنوعی، فصلنامه اقتصاد کشاورزی و توسعه، ۶۵-۶۶: ۷۳-۹۶.
۷. مشیری، س. و ح. مروت (۱۳۸۴)، بررسی وجود فرایند آشوبی در شاخص بازدهی کل قیمت سهام بازار بورس تهران، فصلنامه پژوهش‌های اقتصادی ایران، ۲۵: ۴۷-۶۴.
۸. مشیری، س. (۱۳۸۰)، پیش‌بینی تورم ایران با استفاده از مدل‌های ساختاری، سری‌های زمانی و شبکه‌های عصبی، تحقیقات اقتصادی، ۵۸: ۱۴۷-۱۸۴.

مقایسه توان پیش‌بینی مدل

۹. فهیمی‌فرد، س. م. (۱۳۸۷)، مقایسه کارایی مدل‌های عصبی- مصنوعی و خودرگرسیونی در پیش‌بینی قیمت محصولات کشاورزی ایران، پایان نامه کارشناسی ارشد گروه اقتصاد کشاورزی، دانشگاه زابل.
۱۰. نجفی، ب. و م. طراز کار (۱۳۸۵)، پیش‌بینی میزان صادرات پسته ایران: کاربرد شبکه عصبی، *فصلنامه پژوهشنامه بازرگانی*، ۳۹: ۱۹۱-۲۱۴.
11. Azarbeyjani, K., S. M. Fahimifard and L. Bayari (2007), Energy Consumption Forecasting based on Sustainable Development: Case Study of Iran, Proceeding of the Iran-Italy Conference on Challenge & Prospects of Sustainable Development, Isfahan-Iran, 17-18 December 2007.
12. Box, G.E.P. and G.M. Jenkins (1970), Time series analysis: Forecasting and control, San Francisco: Holden-Day.
13. Chen, X., J. Racine and R. N. Swanson (2001), Semiparametric ARX Neural Network Models with an Application to Forecasting Inflation, *Neural Networks*, 12(4):674-683.
14. Fahimifard, S. M., M. Salarpour, M. Sabouhi and S. Shirzady (2009), Application of ANFIS to Agricultural Economic Variables Forecasting Case Study: Poultry Retail Price, *Journal of Artificial Intelligence*, 2(2):65-72.
15. Haoffi, Z., X. Guoping, Y. Fagting and Y. Han (2007), A Neural Network Model Based on the Multi-Stage Optimization Approach for Short-Term Food Price Forecasting in China, *Expert Systems with Applications*, 33: 347-356.

16. Harvi, S., D. R. Osborn and C. R. Brichenhall (2004), Liner versus neural network forecasts for European industrial production series, *International Journal of Forecasting*, 20: 435-446.
17. Haykin, S. (1994), Neural Networks: a Comprehensive Foundation. Macmillan, New York.
18. Ince, H. and T. B. Trafalis (2005), A hybrid model for exchange rate prediction, online: <http://www.sciencedirect.com>, [20 May 2008].
19. Karayiannis, N. B. and A. N. Venetsanopoulos (1993), Artificial Neural Networks: Learning Algorithms, Performance Evaluation and Applications, Kluwer Academic Publishers, Boston, USA.
20. Morgan, G. C. (1998), Fuzzy logic, Routlendge Encyclopedia of Philosophy, 3, first edition, Craig, E. Routledge, London.
21. Moshiri, S. and N. Cameron (2000), Neural network versus econometric models in forecasting inflation, *Journal of Forecasting*, 19: 201-217.
22. Olson, D. and C. Mossan (2003), Neural network of Canadian stock returns using accounting ratios international, *Journal of Forecasting*, 19: 453-465.
23. Prtugal, N. S. (1995), Neural networks versus time series Methods: A Forecasting Exercises, 14th International Symposium on Forecasting, Sweden.

مقایسه توان پیش‌بینی مدل

24. Racine, J. S. (2001), On The Nonlinear Predictability of Stock Returns Using Financial and Economic Variables, forthcoming, *Journal of Business and Economic Statistics*, 19(3): 80-382.
25. Rech, G. (2002), Forecasting with artificial neural network models, SSE.EFI working paper Series in economics and Finance, 491: 1-20.
26. Tanaka, K. (1998), An Introduction to fuzzy logic for practical applications, Prantice-Hall International Editions.
27. Zhang, G. and M.Y. Hu (1998), Neural Network Forecasting of the British Pound/US Dollar Exchange Rate, *International Journal of Management Science*, 26(4): 495–506.



پژوهشگاه علوم انسانی و مطالعات فرهنگی
پرستال جامع علوم انسانی

